# Bis(s) zum Abendrot: Räumlich und zeitlich hochaufgelöste Schattensimulation unter Bäumen mittels terrestrischem Laserscanning

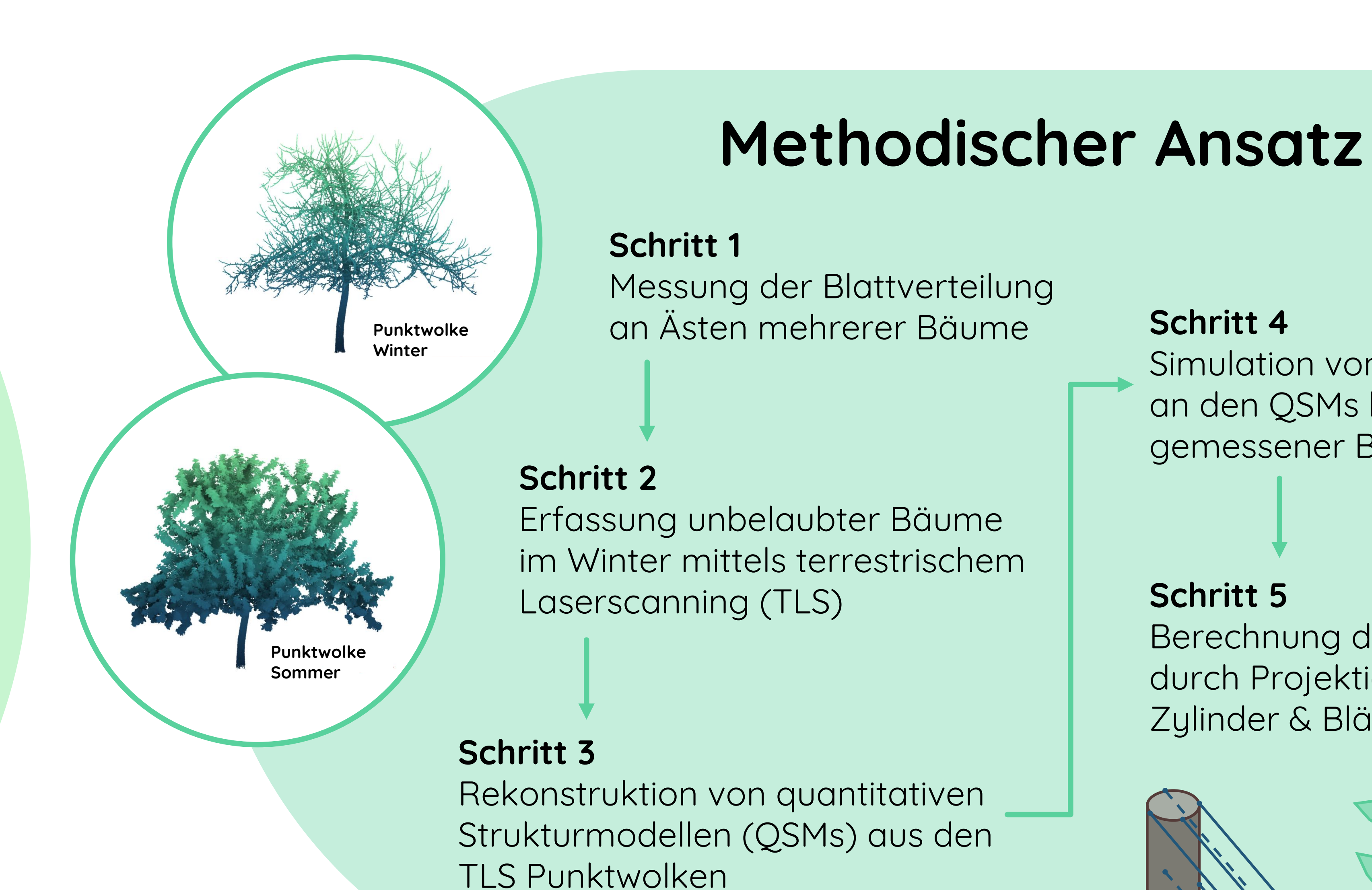


Zoe Schindler<sup>1\*</sup>, Elena Larysch<sup>1</sup>, Julian Frey<sup>1</sup>, Thomas Seifert<sup>1</sup>, Christopher Morhart<sup>1</sup>

- <sup>1</sup> Albert-Ludwigs-Universität Freiburg, Professur für Waldwachstum und Dendroökologie, Freiburg im Breisgau, Deutschland
- \* Kontakt: zoe.schindler@wwd.uni-freiburg.de

## Einleitung

- Lichtmenge, -verteilung & -qualität beeinflussen Ökosysteme, z.B. bezüglich
  - Pflanzenwachstum <sup>1-4</sup>
  - Mikroklimatische Bedingungen <sup>5</sup>
  - Artenvielfalt & -zusammensetzung 6-8
- In **Agroforstsystemen** (AFS) kann die Beschattung durch Bäume resultieren in
  - Verringertem Ertrag <sup>9,10</sup>
  - Unverändertem / erhöhtem Ertrag <sup>11,12</sup>
- Detaillierte Erfassung der Beschattung könnte z.B. zur **Ertragsmodellierung** genutzt werden
- Flächige Lichtmessungen über das gesamte Jahr hinweg sind extrem mühsam
- Ziel: Hochaufgelöste Schattensimulation über das gesamte Jahr basierend auf einer einzelnen Messkampagne

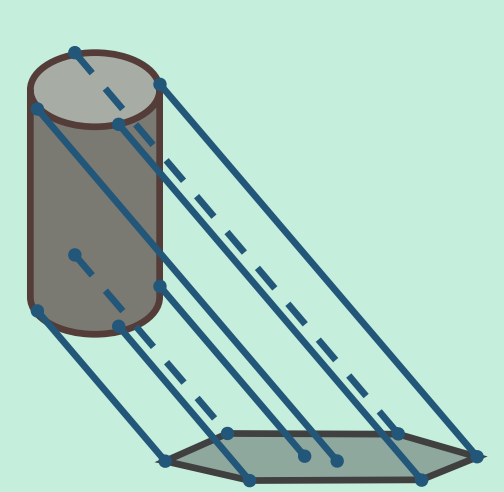


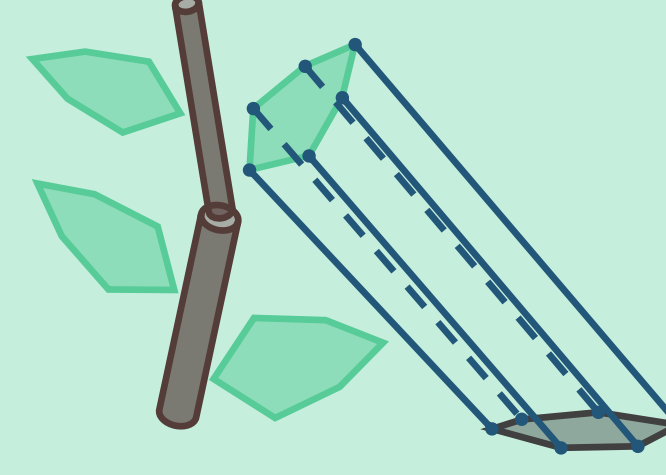
#### Schritt 4

Simulation von Einzelblättern an den QSMs basierend auf gemessener Blattverteilung

#### Schritt 5

Berechnung der Beschattung durch Projektion der QSM Zylinder & Blätter







Grundidee: Vergleich gemessene Validierung Strahlung mit simuliertem Licht & Schatten unter einem freistehenden Baum

Anteil an

Referenz

(pro Klasse)

75%

50%

25%

367 1.250 13.050 (n = 14.667)8,62% 43,03% 98,33% Halbschatten (n = 0)0,00% 0,00% 0,00% Schatten 3.892 1.655 222 (n = 5.769)1,67% 91,38% 56,97% Halbschatten Licht

Schatten

(n = 4.259)

Referenz (n = 20.436)

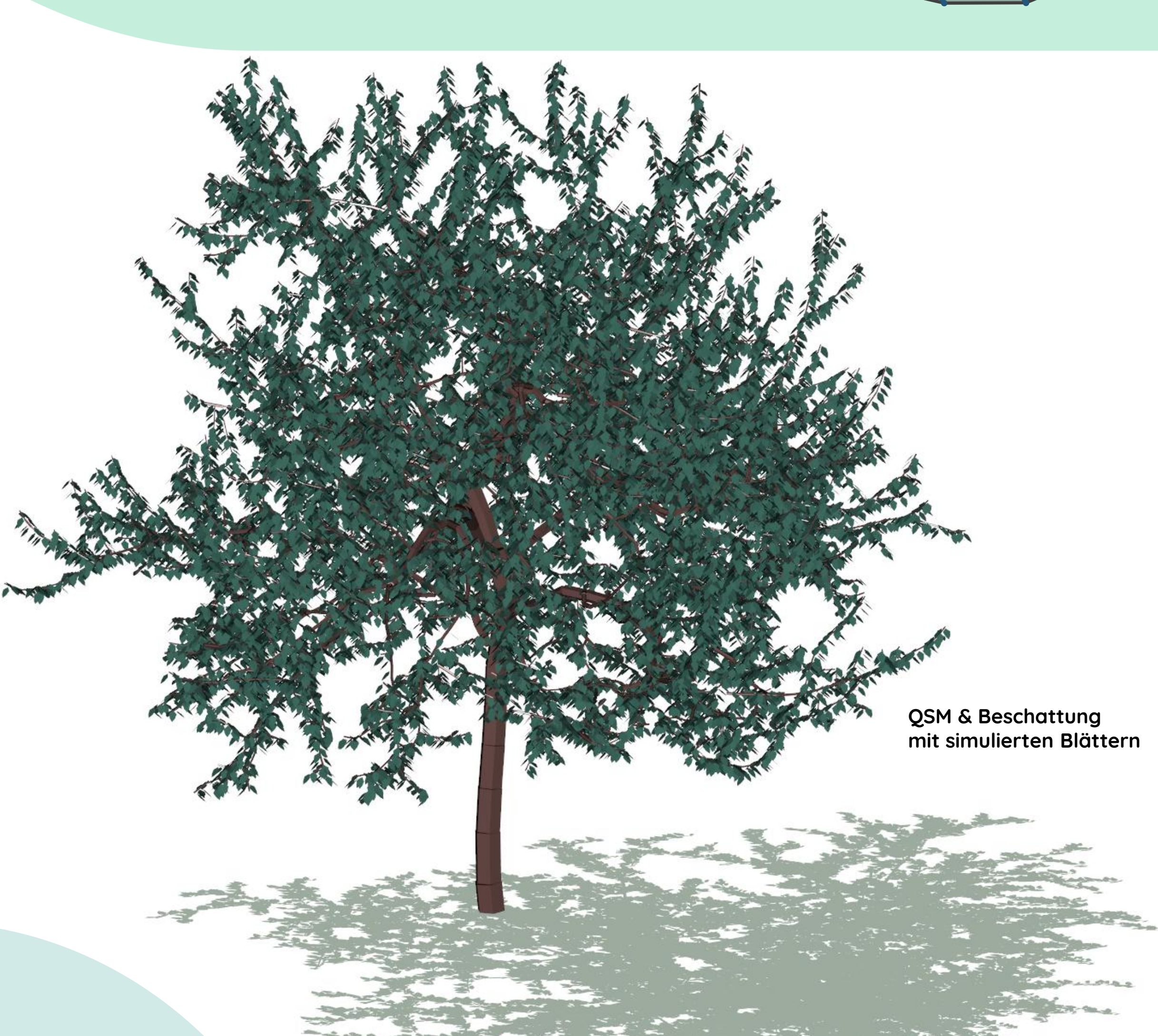
(n = 2.905)

(n = 13.272)

Messungen: 60 Lichtsensoren unter einem Apfelbaum an einem unbewölkten Sommertag, Messungen 1x pro Minute (n = 20.436)

> Simulation: räumliche & zeitliche Auflösung von 1 cm bzw. 1 min

> > Ergebnis: Messungen und Simulation hoch korreliert (r = 0.84)

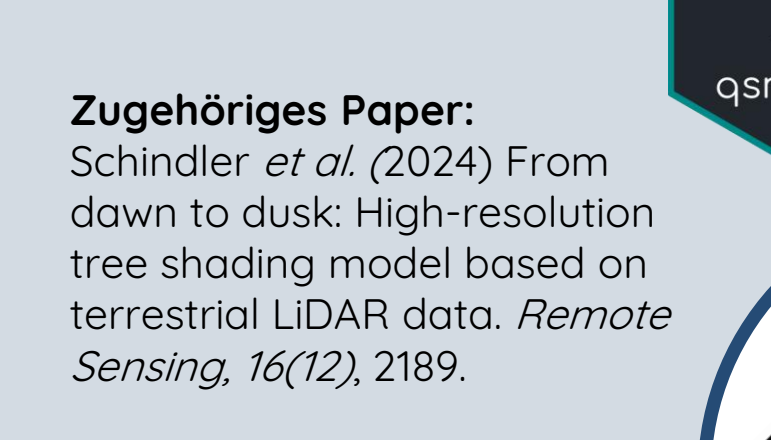


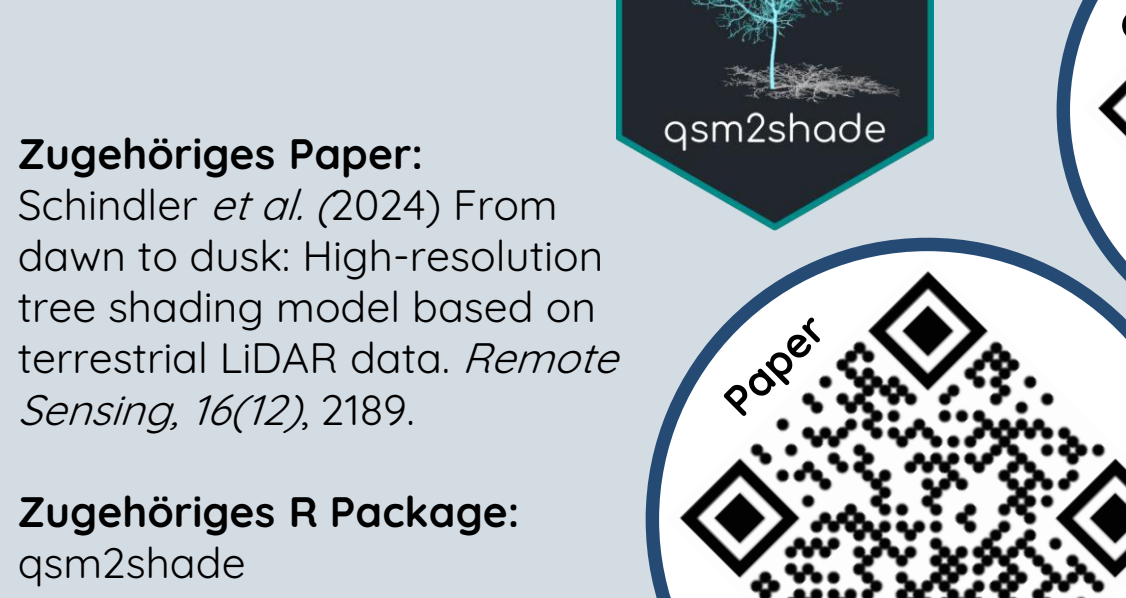
### Diskussion

- Erweiterte **Funktionalität** & verbesserte Recheneffizienz im Vergleich zu früheren Algorithmen 13,14
- Einmalige TLS Datenaufnahme reduziert zeitlichen & finanziellen Aufwand
- Mögliche Anwendungen:
  - **Ertragsmodellierung** in AFS
  - Optimierung der Baumanordnung in AFS

#### Referenzen

**1** Blackman & Black (1959) Physiological and ecological studies in the analysis of plant environment. Ann. Bot. 23, 131–145. | **2** Lupi et al. (2010) Xylem phenology and wood production: Resolving the chicken-or-egg dilemma. Plant Cell Environ. 33, 1721–1730. | 3 Leuchner et al. (2012) Solar radiation as a driver for growth and competition in forest stands. In: Growth and Defence in Plants | 4 Ptushenko et al. (2020) Spectrum of light as a determinant of plant functioning: A historical perspective. Life 10, 25. | 5 Fu & Rich (2002) A geometric solar radiation model with applications in agriculture and forestry. Comput. Electron. Agric. 37, 25–35. | 6 Friedel et al. (2006) Species diversity and species composition of epiphytic bryophytes and lichens-A comparison of managed and unmanaged beech forests in NE Germany. Feddes Repert. 117, 172-185. | 7 Sagar et al. (2008) Differential effect of woody plant canopies on species composition and diversity of ground vegetation: A case study. Trop. Ecol. 49, 189. | 8 Helbach, et al. (2022) Light heterogeneity affects understory plant species richness in temperate forests supporting the heterogeneity-diversity hypothesis. Ecol. Evol. 12, e8534. 9 Dufour et al. (2013) Assessing light competition for cereal production in temperate agroforestry systems using experimentation and crop modelling. J. Agron. Crop. Sci. 199, 217–227 | 10 Ehret et al. (2015) The effect of shade and shade material on white clover/perennial ryegrass mixtures for temperate agroforestry systems. Agrofor. Syst. 2015, 89, 557–570. | 11 Lin et al. (1998) Shade effects on forage crops with potential in temperate agroforestry practices. Agrofor. Syst. 44, 109–119. | 12 Somporn et al. (2012). Effect of shading on yield, sugar content, phenolic acids and antioxidant property of coffee beans (Coffea arabica L. cv. Catimor) harvested from north-eastern Thailand. J. Sci. Food Agric. 92, 1956–1963. | 13 Rosskopf et al. (2017) Modelling shadow using 3D tree models in high spatial and temporal resolution. Remote Sens. 9, 719. | 14 Bohn Reckziegel et al. (2021) Modelling and comparing shading effects of 3D tree structures with virtual leaves. Remote Sens. 13, 532.







#### Förderung

Gefördert durch das Bundesministerium für Landwirtschaft, Ernährung und Heimat aufgrund eines Beschlusses des Deutschen Bundestages im Rahmen des Bundesprogramm Humus. Projekt Humax, Förderkennzeichen 2822HUM010.

Gefördert durch:

Projektträger

für Landwirtschaft, Ernährung



aufgrund eines Beschlusses des Deutschen Bundestages